

doi: 10.13241/j.cnki.pmb.2015.09.006

## Obestatin 对血浆 ghrelin 和 nesfatin-1 水平及胃排空的影响 \*

孙全波<sup>1,2</sup> 栾晓<sup>1</sup> 郭菲菲<sup>1</sup> 孙向荣<sup>1</sup> 祝海<sup>3</sup> 逢明杰<sup>3</sup> 王萍<sup>3</sup> 谷方<sup>1</sup> 徐珞<sup>1△</sup>

(1 青岛大学医学院病理生理学教研室 山东 青岛 266021; 2 菏泽医学专科学校 山东 菏泽 274031;

3 青岛市立医院 山东 青岛 266042)

**摘要 目的:**探讨侧脑室注射 obestatin 对大鼠血浆酰基化 ghrelin、去酰基化 ghrelin、nesfatin-1 水平的影响以及对胃排空的调控。**方法:**侧脑室注射 obestatin,采用酶免疫测定(EIA)法检测血浆酰基化 ghrelin、去酰基化 ghrelin、nesfatin-1 水平以及胃排空率的变化。**结果:**侧脑室分别注射 0.1、0.3 或 1.0 nmol obestatin,大鼠血浆酰基化 ghrelin、去酰基化 ghrelin 以及 nesfatin-1 水平无显著改变( $P>0.05$ ),且酰基化 ghrelin 与去酰基化 ghrelin 比率无显著改变( $P>0.05$ );侧脑室注射 obestatin,大鼠摄食量无显著改变,但胃排空率明显增加( $P<0.05$ );胃排空率明显延迟( $P<0.05$ )。与侧脑室注射 1.0 nmol Obestatin 组相比,注射 1.0 nmol Obestatin+CRF,大鼠摄食量无显著改变,胃排空率明显延迟( $P<0.05$ )。各组摄食量及进入十二指肠内食物量无明显差异( $P>0.05$ )。**结论:**中枢 obestatin 促进大鼠的胃排空,可能与 h/rCRF 通路有关。

**关键词:**胃排空;Ghrelin;Nesfatin-1;Obestatin**中图分类号:**Q95-3;R338 **文献标识码:**A **文章编号:**1673-6273(2015)09-1628-04

## The Effects of Obestatin on Plasmaacyl Gheelin and Nesfatin-1 Levels, and on Gastric Emptying in Rats\*

SUN Quan-bo<sup>1,2</sup>, LUAN Xiao<sup>1</sup>, GUO Fei-fei<sup>1</sup>, SUN Xiang-rong<sup>1</sup>, ZHU Hai<sup>1</sup>, PANG Ming-jie<sup>3</sup>, WANG Ping<sup>3</sup>, GU Fang<sup>1</sup>, XU Luo<sup>1△</sup>

(1 Dept. of Pathophysiology, Medical College of Qingdao University, Qingdao, Shandong, 266021, China;

2 Heze Municipal Hospital, Heze, Shandong, 274031, China; 3 Qingdao Municipal Hospital, Qingdao, Shandong, 266042, China)

**ABSTRACT Objective:** To discuss the impact of intracerebroventricular obestatin on plasma acyl ghrelin, des-acyl ghrelin and nesfatin-1 levels, and the regulation of gastric emptying in rats. **Methods:** Rats were administrated obestatin through intracerebroventricular (ICV) injection; Enzyme immunoassay (EIA) method was used to detect the plasma levels of acyl ghrelin, des-acyl ghrelin, nesfatin-1 and changes in the rate of gastric emptying. **Results:** After lateral ventricle injection respectively 0.1, 0.3 or 1.0 nmol obestatin, the plasma levels of acyl ghrelin, des-acyl ghrelin, nesfatin-1 had no significant change ( $P>0.05$ ), and the ratio of acyl ghrelin and des-acyl ghrelin had no significant difference ( $P>0.05$ ) too. Food intake of rats had no obvious difference after lateral ventricle injection of obestatin, but the gastric emptying rate increased significantly ( $P<0.05$ ). Gastric emptying rate delayed significantly ( $P<0.05$ ). Compared with lateral ventricle injection 1.0 nmol Obestatin group, injection 1.0 nmol Obestatin + CRF, no significant changes in food intake in rats significantly delayed gastric emptying rate ( $P<0.05$ ). While the amount of food intake and the food into the duodenum had no obvious difference ( $P>0.05$ ). **Conclusions:** Central obestatin promotes gastric emptying of rats, which may be associated with h/rCRF pathways.

**Key words:** Gastric emptying; Ghrelin; Nesfatin-1; Obestatin**Chinese Library Classification (CLC):** Q95-3; R338 **Document code:** A**Article ID:** 1673-6273(2015)09-1628-04

### 前言

Obestatin 是 23 个氨基酸的脑肠肽,是胃促生长素前原体转录翻译产物<sup>[1]</sup>,在中枢 obestatin 神经元主要分布于下丘脑摄食相关中枢,如下丘脑外侧区(LHA)、背内侧核,室旁核(PVN)和弓状核(Arc)也有分布。Obestatin 具有抑制渴觉<sup>[2]</sup>、抗焦虑<sup>[3]</sup>、促进学习记忆<sup>[3]</sup>、增加快速动眼睡眠和减少睡眠延迟<sup>[4]</sup>等功能。有研究表明,肥胖患者血浆 obestatin 水平较低<sup>[5]</sup>,而消瘦者则较高<sup>[6]</sup>。另有文献报道,obestatin 可促进食欲,参与能量代谢调

控<sup>[7]</sup>,但目前对 obestatin 的促摄食作用仍有争议。因此,本研究采用侧脑室注射 obestatin,观察大鼠血浆与摄食和胃运动密切相关的脑肠肽,如 ghrelin 和 nesfatin-1 水平改变,并同时观察其对胃排空的影响,目的是进一步验证 obestatin 在调控摄食和胃肠动力中的作用。

### 1 材料和方法

#### 1.1 动物

体重 250-320g 的雄性 SD 大鼠,购自青岛市动物检疫中

\* 基金项目:国家自然科学基金项目(31071014;81100260;81300281;81470815;81270460);青岛市科技局项目(13-1-4-170-jch;14-2-3-3-nsh)

作者简介:孙全波(1980-),男,硕士研究生,主要研究方向:能量代谢障碍基础与临床,电话:0532-82991713, E-mail: hzyzsb@163.com

△通讯作者:徐珞,E-mail: xu.luo@163.com

(收稿日期:2014-09-07 接受日期:2014-09-30)

心,置于循环光照下(8:00-20:00 光照),温湿度恒定(22.5±1.5℃),自由饮水、摄食。实验均在8:00Am开始。

### 1.2 侧脑室植入套管

戊巴比妥钠腹腔注射麻醉大鼠(50 ng/kg),将大鼠置于立体定位仪上,在右侧脑室植入一同芯套管(定位:前囟后0.8 mm,旁开1.4 mm,深4.5 mm)。将植入后的导管固定于头骨表面。为了验证导管是否植入侧脑室,实验结束后经导管向大鼠脑室注射100 μL 0.05%甲苯基紫色<sup>[8]</sup>。

### 1.3 血浆酰基化 ghrelin/去酰基化 ghrelin 以及 nesfatin-1 的检测

随机选取40只大鼠,分为4组(每组10只):对照组,侧脑室注射NS;obestatin低剂量组:侧脑室注射0.1 nmol obestatin;obestatin中剂量组:侧脑室注射0.3 nmol obestatin;obestatin高剂量组:侧脑室注射1.0 nmol obestatin。侧脑室注药2小时后采集血液。将血样放入含有乙二胺四乙酸二钠(EDTA)(1 mg/ml)和抑肽酶(500 U/ml)的冰冻玻璃管内,离心分离血浆。酶免疫测定(ELISA)法测量血浆中酰基化 ghrelin/去酰基化 ghrelin 以及 nesfatin-1 的含量。实验用 ELISA 试剂盒均购自上海劲马实验设备有限公司,严格按说明书操作:

#### 1) 试剂配制:

1× 洗涤液:将5×洗涤液与dH<sub>2</sub>O以1:4进行稀释;

1× 稀释液:5×稀释液与dH<sub>2</sub>O以1:4进行稀释;

1× 检测液:以1×稀释液稀释100×检测液100倍,检测液应在使用前1h内配制;

2) 标准品配制:分别向酰基化 ghrelin/去酰基化 ghrelin 以及 nesfatin-1 标准品试管内加 dH<sub>2</sub>O 1 mL,终浓度为 500 ng/mL(酰基化 ghrelin),1200 ng/ml(去酰基化 ghrelin),12 ng/mL(nesfatin-1);取8个离心管,每只离心管加300 μL的1×稀释液,向#7离心管中加300 μL标准品溶液,倒置混合,浓度为10 ng/mL;#0离心管不加标准品,从#6~1开始依次倍释标准品浓度;

3) ELISA: 血浆标本以1×稀释液按1:50进行稀释;取100 μL#0~7离心管内标准品、稀释的血浆加入到抗体包埋的板孔内;37℃下孵育1 h;以300 μL 1×洗涤液洗涤3次;向各孔加100 μL二抗,37℃下孵育1 h;以300 μL 1×洗涤液洗涤3次;向各孔加100 μL 1×检测液,37℃下孵育1 h;以300 μL 1×洗涤液洗涤5次;向各孔加100 μL 1×底物反应液,室温下避光下孵育10 min;使用排刷向各孔加100 μL反应终止液;450 nm紫外线下检测,并建立标准曲线(图1),计算各样本蛋白数值乘以稀释倍数,取得蛋白的血浆浓度。

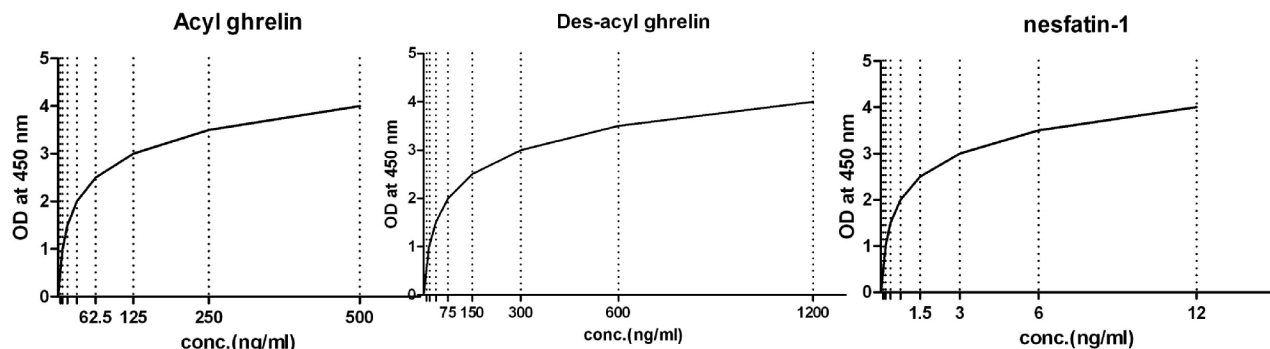


图1 酰基化 ghrelin、去酰基化 ghrelin 和 nesfatin-1 的标准曲线

Fig. 1 Acyl ghrelin, dis-acyl ghrelin and nesfatin-1 standard curve

### 1.4 胃排空实验

随机选取60只大鼠,分为6组,每组12只。实验前大鼠禁食16小时,随后给予大鼠350 kcal/100 g 固体食物,1小时后侧脑室注射药物。对照组注射10 μL NS,实验组分为5组,分别注射0.1 nmol obestatin、0.3 nmol obestatin、1.0 nmol obestatin、1 nmol h/rCRF、1.0 nmol obestatin+h/rCRF,注药后禁食2小时。

摄食量计算方式:固体食物总量—剩余固体食物量<sup>[9]</sup>。

实验结束后,大鼠断颈处死,开腹、夹闭食管、胃及十二指肠,将胃完整取出,胃内容物干燥后称量。

胃排空率=[1-(干燥的胃内容物重量/摄食量)]×100%。

十二指肠内容物=摄食量-干燥的胃内容物重量。

### 1.6 统计学分析

应用PPMS 1.5统计软件进行数据分析。以ANOVA对多样本数据进行分析,两样本均数的比较采用t检验,P<0.05为有统计学意义。

## 2 结果

### 2.1 侧脑室注射 obestatin 对血浆 ghrelin 和 nesfatin-1 水平的影响

大鼠侧脑室注射不同剂量的 obestatin(0.1 nmol、0.3 nmol、1.0 nmol),2 小时后测量血浆酰基化 ghrelin/去酰基化 ghrelin 以及 nesfatin-1 含量。与对照组相比,血浆酰基化 ghrelin/去酰基化 ghrelin、nesfatin-1 水平以及酰基化 ghrelin 与去酰基化 ghrelin 的比值均没有明显改变(表1)。

表1 侧脑室注射 obestatin 对血浆 ghrelin 和 nesfatin-1 水平的影响

Table 1 Effect of obestatin on plasma ghrelin and nesfatin-1 levels

	Acyl ghrelin (pg/mL)	Des-acyl ghrelin (pg/mL)	Acyl ghrelin / Des-acyl ghrelin ratio	Nesfatin-1 (pg/mL)
Saline(n=10)	194.2± 50.5	654.4± 161.1	0.3± 0.09	4.4± 1.2
0.1nmol Obestatin (n=6)	163.8± 42.3	781.5± 184.2	0.2± 0.05	4.9± 1.5
0.3nmol Obestatin (n=6)	227.1± 60.4	948.5± 304.0	0.22± 0.06	6.2± 1.8
1.0nmol Obestatin (n=6)	111.8± 25.7	792.5± 231.0	0.14± 0.04	5.1± 1.3

## 2.2 侧脑室注射 obestatin 和 h/rCRF 对大鼠胃排空率、摄食量及十二指肠食物量的影响

本研究发现，大鼠摄食量与胃排空率呈负相关( $r=-0.741$ ,

$P<0.001$  图 2A)；但进入十二指肠的食物量与胃排空率无显著相关性( $P=0.07$ , 图 2B)。

与生理盐水对照组相比, 注射不同剂量 obestatin, 大鼠摄

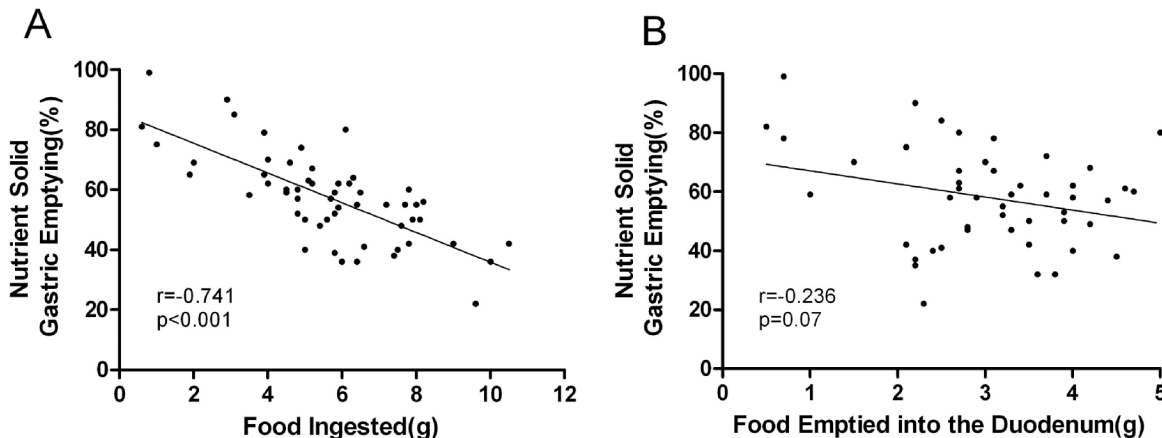


图 2 侧脑室注射 obestatin 对大鼠摄食量及胃排空的影响

Fig. 2 The effect of food intake and gastric emptying in rat after Lateral ventricle injection obestatin

注: A: 侧脑室注射 obestatin 对摄食量与胃排空率关系( $r=-0.741, P<0.001$ );

B: 侧脑室注射 obestatin 后 2 小时, 进入十二指肠食物量与胃排空率间关系( $r=-0.236, P=0.07$ );  $n=60$

Note: There was (A) a significant negative correlation between the gastric emptying of a solid nutrient meal and the weight of food ingested at 1 h before intracerebroventricular (ICV) injection ( $r=-0.741, P<0.001$ ), and (B) a tendency of negative correlation observed between the gastric emptying of a solid nutrient meal and the weight of food emptied into the duodenum 2 h after ICV injection ( $r=-0.236, P=0.07$ );  $n=60$  rats total.

食量无显著改变, 但胃排空率明显增加( $P<0.05$ )；但侧脑室注射 1 nmol 促肾上腺皮质激素释放激素(CRF), 胃排空率明显延迟( $P<0.05$ )。但各组摄食量及进入十二指肠内食物量无明显差异 ( $P>0.05$ )。与侧脑室注射 1.0 nmol Obestatin 组相比, 注射 1.0 nmol Obestatin+CRF, 大鼠摄食量无显著改变, 胃排空率明显延迟( $P<0.05$ , 表 2)。

表 2 Obestatin 和 h/rCRF 对胃排空率、摄食量以及排入十二指肠食物量的影响( $n=12$ )

Table 2 The gastric emptying of a solid nutrient meal, food ingested and food emptied into the duodenum in groups treated with intracerebroventricular injection of either obestatin, or corticotropin-releasing factor ( $n=12$ )

## 3 讨论

	Gastric Emptying (%)	Food Ingested (g/h)	Food Emptied into Dudenum (g/h)
NS	58.1± 18.2	5.7± 1.7	3.5± 1.1
0.1nmol Obestatin	65.4± 17.3	5.2± 1.5	3.2± 1.4
0.3 nmol Obestatin	82.3± 21.1*	5.5± 1.6	3.1± 1.0
1.0 nmol Obestatin	87.1± 20.2*	5.0± 1.1	2.8± 0.8
CRF	41.5± 10.3*	6.1± 2.5	2.5± 0.8
1.0 nmol Obestatin+CRF	51.2± 14.3#	5.6± 1.6	2.6± 0.7

注: 与 NS 组相比, \* $P<0.05$ ; 与 1.0 nmol Obestatin 组相比, # $P<0.05$ 。

Notes: \*  $P<0.05$  vs. NS group; # $P<0.05$  vs. 1.0 nmol Obestatin group.

以往研究显示, 静脉或脑室注射 obestatin, 血浆中生长激素、促甲状腺激素以及促肾上腺皮质激素表达均没有显著改变, 脑内神经肽 Y、刺鼠色蛋白相关蛋白、苯丙胺调节转录因子

以及类吗啡样神经肽 mRNA 表达也无显著变化<sup>[7]</sup>。本研究也发现, 侧脑室注射不同剂量 obestatin, 血浆酰基化 ghrelin、去酰基化 ghrelin 以及 nesfatin-1 水平均无明显改变。Ghrelin 主要以酰基化和去酰基化的形式调控摄食, 影响肠蠕动和机体能量平衡<sup>[8]</sup>。去酰基化 ghrelin 主要存在于循环血中<sup>[9]</sup>, 在胃、小肠和胰腺, 去酰基化 ghrelin 经 O- 酰基转移酶催化生成酰基化 ghrelin<sup>[10]</sup>。

Nesfatin-1 是含有 82 个氨基酸的肽类, 是由核连蛋白-2 所编码的饱感信号肽<sup>[11]</sup>。最近研究发现, nesfatin-1 和 ghrelin 在胃内共表达, 推测 nesfatin-1 可能与 ghrelin 共同或协同调控摄食和体重<sup>[11]</sup>。但是目前还没有研究表明 obestatin 与酰基化 ghrelin、去酰基化 ghrelin 以及 nesfatin-1 间有相互作用。但有文献报道, 厌食症患者, 其能量平衡及摄食受 obestatin、nesfatin-1、酰基化 ghrelin 及去酰基化 ghrelin 的调控<sup>[12]</sup>。本研究首次脑室给药观察了 obestatin 对 nesfatin-1、酰基化 ghrelin、去酰基化 ghrelin 等多肽的影响。但侧脑室注射不同剂量的 obestatin 并不影响血浆中上述肽类水平。

以前对胃排空的研究主要围绕观察食物的排空率, 而对食物排空进入十二指肠研究较少。本研究显示, 摄入的食物量与胃排空率呈显著负相关; 且摄入的食物量与进入十二指肠量也呈负相关趋势; 因此将来我们研究胃排空影响应该考虑进食量。

Ghrelin 前体基因主要有三种基因产物, 一是能够促进胃排空的酰基化 ghrelin<sup>[13]</sup>, 二是能抑制胃排空的去酰基化 ghrelin<sup>[14]</sup>, 三则是在本研究中研究的 obestatin。与前两种基因产物相比, obestatin 也促进大鼠胃的排空。在大鼠杏仁核、海马以及听觉皮层含有丰富的 GPR39 mRNA, 并且 obestatin 能靶向与 GPR39 结合<sup>[15]</sup>, 因此 obestatin 促进胃的排空可能与 ghrelin 信

号通路有关。

已有研究表明,obestatin 可与 CRF 受体结合,进而改变胃和十二指肠动力<sup>[16]</sup>。因此,本研究观察了脑室内注射 CRF 为胃排空的影响。结果显示,侧脑室注射 CRF 可显著抑制胃的排空率,这与已有的相关研究结果相吻合<sup>[17]</sup>。尽管在人类脑脊液中 CRF 的半衰期不到 10 分钟<sup>[18]</sup>,但是我们研究结果表明,脑室内注射 1nmol 的 CRF 能有效抑制大鼠胃的排空。

总之,侧脑室注射 obestatin 2 小时后,血浆酰基化 ghrelin、去酰基化 ghrelin 以及 nesfatin-1 水平无显著改变;大鼠摄食量与胃排空率呈负相关;侧脑室注射 obestatin 可使大鼠胃排空率增加;但侧脑室注射 CRF,大鼠胃排空率明显延迟。

#### 参考文献(References)

- [1] Zhang JV, Ren PG, Avsian-Kretchmer O, et al. Obestatin, a peptide encoded by the ghrelin gene, opposes ghrelin's effects on food intake [J]. Science, 2005, 310(5750): 996-999
- [2] Samson WK, White MM, Price C, et al. Obestatin acts in brain to inhibit thirst [J]. Am J Physiol Regul Integr Comp Physiol, 2007, 292 (1): R637-R643
- [3] Carlini VP, Schiøth HB, Debarioglio SR. Obestatin improves memory performance and causes anxiolytic effects in rats [J]. Biochem Biophys Res Commun, 2007, 352(4): 907-912
- [4] Trovato L, Gallo D, Settanni F, et al. Obestatin: is it really doing something? [J]. Front Horm Res, 2014, 42(9): 175-185
- [5] Zhang N, Yuan C, Li Z, et al. Meta-analysis of the relationship between obestatin and ghrelin levels and the ghrelin/obestatin ratio with respect to obesity [J]. Am J Med Sci, 2011, 341(1): 48-55
- [6] Mafra D, Guebre-Egziabher F, Cleaud C, et al. Obestatin and ghrelin interplay in hemodialysis patients [J]. Nutrition, 2010, 26 (11-12): 1100-1104
- [7] Li JB, Asakawa A, Cheng K, et al. Biological effects of obestatin [J]. Endocrine, 2011, 39(3): 205-211
- [8] Chen CY, Asakawa A, Fujimiya M, et al. Ghrelin gene products and the regulation of food intake and gut motility [J]. Pharmacol Rev, 2009, 61(4): 430-481
- [9] Gullett NP, Mazurak VC, Hebbal G, et al. Nutritional interventions for cancer-induced cachexia [J]. Curr Probl Cancer, 2011, 35(2): 58-90
- [10] Gutierrez JA, Solenberg PJ, Perkins DR, et al. Ghrelin octanoylation mediated by an orphan lipid transferase [J]. Proc Natl Acad Sci USA, 2008, 105(17): 6320-6325
- [11] Stengel A, Goebel M, Wang L, et al. Ghrelin, des-acyl ghrelin and nesfatin-1 in gastric X/A-like cells: role as regulators of food intake and body weight [J]. Peptides, 2010, 31(2): 357-369
- [12] Ogiso K, Asakawa A, Amitani H, et al. Plasma nesfatin-1 concentrations in restricting-type anorexia nervosa [J]. Peptides, 2011, 32(1): 150-153
- [13] Chen CY, Tsai CY. Ghrelin and motilin in the gastrointestinal system [J]. Curr Pharm Des, 2012, 18(31): 4755-4765
- [14] Asakawa A, Ataka K, Fujino K, et al. Ghrelin family of peptides and gut motility [J]. J Gastroenterol Hepatol, 2011, 3(1): 73-74
- [15] Asakawa A, Inui A, Fujimiya M, et al. Stomach regulates energy balance via acylated ghrelin and desacyl ghrelin [J]. Gut, 2005, 54(1): 18-24
- [16] Fujimiya M, Asakawa A, Ataka K, et al. Ghrelin, des-acyl ghrelin and obestatin: regulatory roles on the gastrointestinal motility [J]. Int J Pept, 2010, 29(2): 227-234
- [17] Coin I, Katritch V, Sun T, et al. Genetically encoded chemical probes in cells reveal the binding path of urocortin-I to CRF class B GPCR [J]. Cell, 2013, 155(6): 1258-1269
- [18] Kellner M, Salzwedel C, Wortmann V, et al. No acute suppression of cerebrospinal fluid corticotropin-releasing hormone in man by cortisol administration [J]. Psychiatry Res, 2013, 210(2): 662-664

(上接第 1612 页)

- [14] Elpeki GO. Cellular and molecular mechanisms in the pathogenesis of liver fibrosis: An update [J]. World journal of gastroenterology : WJG, 2014, 20(23): 7260-7276
- [15] McHedlidze T, Waldner M, Zopf S, et al. Interleukin-33-dependent innate lymphoid cells mediate hepatic fibrosis [J]. Immunity, 2013, 39 (2): 357-371
- [16] Luedde T, Kaplowitz N, Schwabe RF. Cell death and cell death responses in liver disease: mechanisms and clinical relevance [J]. Gastroenterology, 2014, 147(4): 765-783
- [17] Nie Y, Erion DM, Yuan Z, et al. STAT3 inhibition of gluconeogenesis is downregulated by SirT1 [J]. Nature cell biology, 2009, 11(4): 492-500
- [18] Yeung F, Hoberg JE, Ramsey CS, et al. Modulation of

- NF-κB-dependent transcription and cell survival by the SIRT1 deacetylase [J]. The EMBO journal, 2004, 23(12): 2369-2380
- [19] El-Karef A, Yoshida T, Gabazza EC, et al. Deficiency of tenascin-C attenuates liver fibrosis in immune-mediated chronic hepatitis in mice [J]. The Journal of pathology, 2007, 211(1): 86-94
- [20] Liu J, Wang CY, Chen YP, et al. Dynamic expression of tropomyosin 1 in rat model of hepatic fibrosis and hepatic stellate cells [J]. Chinese journal of hepatology, 2011, 19(11): 848-852
- [21] Zhang Y, Xu N, Xu J, et al. E2F1 is a novel fibrogenic gene that regulates cholestatic liver fibrosis through the Egr-1/SHP/EID1 network [J]. Hepatology, 2014, 60(3): 919-930
- [22] Wang C, Chen L, Hou X, et al. Interactions between E2F1 and SirT1 regulate apoptotic response to DNA damage [J]. Nature cell biology, 2006, 8(9): 1025-1031